

PCゲルバー Hinge 部の破壊耐力について

神戸大学工学部 正員 藤井 学
 " 大学院 学生員 森田 健
 清水建設(株) 正員 川端文二

S.1 まえがき

PCゲルバー析 Hinge 部せん断破壊荷重計算式を検討する目的でスター ラップ筋の量と配置を変えた実験を行ない、今回は R.Walther 式と簡略計算式とによる計算値と実験値との比較を行なった。

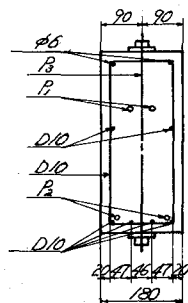
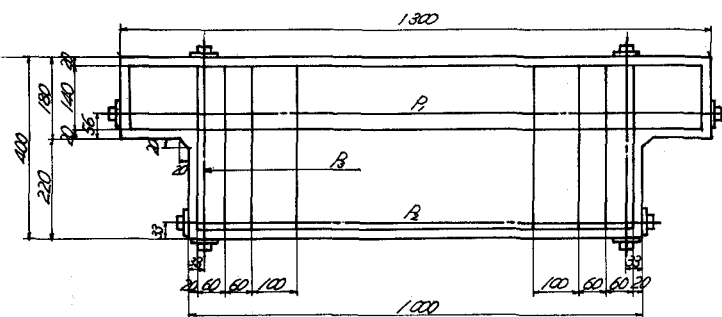


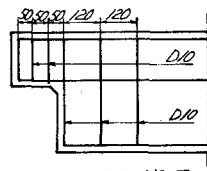
図-1(a) 供試体の形状寸法と配筋(スター ラップの配筋はNO.I供試体)

S.2 実験概要

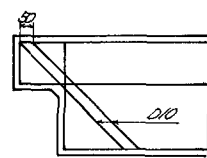
在来研究によると、Hinge 部の破壊断面は支点位置、ハンチ上隅、ハンチ下隅を含む断面であるため、これらの断面で破壊するように入り口ラップ筋の量と配置を変化させた。その決定は§4で述べる簡略計算法 I によった。供試体の形状寸法および配筋図を図-1に示す。供試体の種類は4種で、同一供試体は2個ずつ作製した。ハンチの大きさ、PC鋼棒の配置と緊張力、および支点反力の載荷位置は全供試体について同一である。載荷試験はHinge 部を片方ずつ行なった。測定事項は、(i)ひびわれ荷重、(ii)ひびわれ幅、(iii)ひびわれ性状、(iv)コンクリートおよびPC鋼棒の応力状態、(v)破壊荷重である。

S.3 実験結果

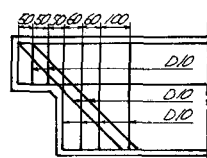
発生したひびわれの模式図は図-2のようになる。NO.I供試体では $R = 6.5 \text{ ton}$ で C が発生し 20 ton ぐらいまでは伸長する。b は 11.5 ton で生じ 15 ton で止まる。d は 17 ton 前後、a は 20 ton 前後で生じる。そして a によって破壊する。NO.IIでは、 6.5 ton で生じた C がそのまま伸長して破壊にいたる。b はほとんど生じない。a は 15 ton 、d は 17 ton で生じた。NO.IIIでは、 5.5 ton 前後で b、c が生じ、その後 b は止まり c が伸長して破壊する。a、d は 20 ton 前後で生じた。e も破壊時に生じた。NO.IVでは、 6 ton 前後で c が生じ伸長して破壊にいたる。



(b) NO.II配筋図



(c) NO.III配筋図



(d) NO.IV配筋図

たる。bは生じない。dは20ton, aは25tonで生じた。すべてを通して、破壊断面の角度はcの場合約45°, cの場合約31°であった。

S.4 破壊荷重計算法

(1) 簡略計算式：図-3の状態を考え、□の部分Pの部分の釣合式から求める。ここで仮定を行なう。(i) P_1, P_3, T (水平鉄筋)は降伏している。(ii) S_0 (圧縮部コンクリートの受け持つせん断力)が S_{max} より大きい場合は $S_0 = S_{max}$ とする。(iii) 破壊断面の角度は45°とする。

$$\Sigma H = 0 \text{ より } C = P_1 + T \quad x = \frac{C}{0.6c \cdot b}$$

$$\Sigma V = 0 \text{ より } R_u = P_3 + S_1 + S_0$$

$$\Sigma M = 0 \text{ より } T \cdot h_1 + P_1 \cdot h_2 + S_1 \cdot l_1 + P_3 \cdot l_2 + S_0 \cdot l_3 = C \cdot h_3$$

ここに、b:供試体の幅, S_1 :スターラップの引張力

計算は $S_0 = 0$ として S_1 を求め、 $S_1 > S_y$ (降伏値)の場合は $S_1 = S_y$ として S_0 を求める。この場合、 $S_{max} = 0.15 b \times x^{0.2}$ ¹⁾(簡略式I), および $S_{max} = 0.6 b \times x^{0.2}$ ²⁾(簡略式II)の2通りにつき検討した。

(2) R. Walther式：氏の修正理論式³⁾を用いた。

以上の計算値と実験値との比較を表-1に示す。実験値は4材端の平均値である。これを見ると計算値はすべて安全側にあり、実験値に対する計算値の比は、簡略式Iで83%, 簡略式IIで87%, W式で85%となっており3式で大差はない。破壊断面についてみると、簡略式IとW式ではNO.II, 簡略式IIではNO.Iについてだけ予想断面と一致しない。以上より、簡略式

表-1 各計算値と実験値との比較 (S_0 と R_u の単位はton)

供試体	破壊断面 の始点	簡略計算式			Walther 式による R_u'	実験値 R_u	R_u / R_u'		
		S_0	R_u (I式)	R_u (II式)			簡略式I	簡略式II	Walther式
NO.I	支点	7.79	*18.4	22.6	*20.9	23.4	0.79	(0.97)	0.89
	ハンチ上	1.09	21.7	21.7	21.9				
	ハンチ下	0	19.8	*19.8	22.5			0.85	
NO.II	支点	6.04	24.1	26.6	22.5				
	ハンチ上	5.52	*18.4	20.3	*19.4		0.79		0.83
	ハンチ下	0	19.8	*19.8	20.9	23.3	(0.85)	0.85	(0.90)
NO.III	支点	9.98	27.8	32.9	26.9				
	ハンチ上	6.98	27.8	30.0	27.0				
	ハンチ下	5.83	*27.8	*28.8	*25.4	32.9	0.85	0.88	0.77
NO.IV	支点	7.86	33.5	36.6	27.5				
	ハンチ上	1.84	30.6	30.6	27.8				
	ハンチ下	0	*26.4	*26.4	*27.3	29.6	0.89	0.89	0.92

*印は破壊予想値, ()内は実破壊断面に対応する断面での計算との比

参考文献 1)近藤, 坂監修:コンクリート工学ハンドブック, 朝倉書店, 昭和40.10

2)小柳, 平沢, 米田:セメント技術年報XXIV, 昭和45.12

3)R. Walther : B. u. St. 1962. Ht 11

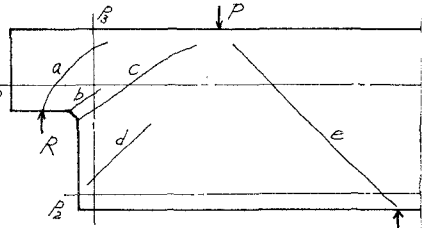


図-2 ひびわれ模式図

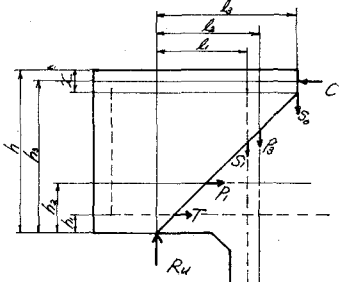


図-3 支点から破壊の例